

# Redes de neuronas no oscilatorias: resonancias subumbral y generación de oscilaciones de red

Andrea Bel<sup>1,2</sup>, Ana Torresi<sup>1</sup>, Horacio G. Rotstein<sup>3,2</sup>

<sup>1</sup>Departamento de Matemática, Universidad Nacional del Sur,  
<sup>2</sup>CONICET

<sup>3</sup>Federated Department of Biological Sciences, New Jersey Institute of  
Technology & Rutgers University, USA

Congreso A. Monteiro - 2023

## Modelos basados en conductancia: Hodgkin-Huxley

$$C \frac{dV}{dt} = I_{app} - I_L - I_j(x_j, V) - I_{syn} + I_{in}(t),$$
$$\frac{dx_j}{dt} = \frac{x_{j,\infty}(V) - x_j}{\tau_{x_j}(V)}, \quad j = 1, 2$$

# Modelos basados en conductancia: Hodgkin-Huxley

$$C \frac{dV}{dt} = I_{app} - I_L - I_j(x_j, V) - I_{syn} + I_{in}(t),$$
$$\frac{dx_j}{dt} = \frac{x_{j,\infty}(V) - x_j}{\tau_{x_j}(V)}, \quad j = 1, 2$$

Corriente de fuga:  $I_L = G_L(V - E_L)$

Canales iónicos:  $I_j = G_j x_j (V - E_j)$

$$C \frac{dV}{dt} = I_{app} - I_L - I_j(x_j, V) - I_{syn} + I_{in}(t),$$
$$\frac{dx_j}{dt} = \frac{x_{j,\infty}(V) - x_j}{\tau_{x_j}(V)}, \quad j = 1, 2$$

Corriente de fuga:  $I_L = G_L(V - E_L)$

Canales iónicos:  $I_j = G_j x_j (V - E_j)$

$x_{j,\infty}$  es la función de activación /inactivación,

$\tau_{x_j}$  es la función de escala de tiempo

# Modelos basados en conductancia: Hodgkin-Huxley

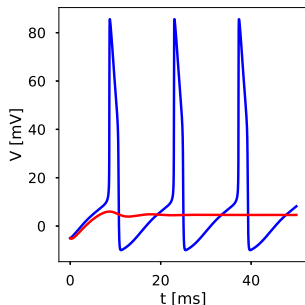
$$C \frac{dV}{dt} = I_{app} - I_L - I_j(x_j, V) - I_{syn} + I_{in}(t),$$
$$\frac{dx_j}{dt} = \frac{x_{j,\infty}(V) - x_j}{\tau_{x_j}(V)}, \quad j = 1, 2$$

Corriente de fuga:  $I_L = G_L(V - E_L)$

Canales iónicos:  $I_j = G_j x_j (V - E_j)$

$x_{j,\infty}$  es la función de activación /inactivación,

$\tau_{x_j}$  es la función de escala de tiempo



$$\begin{aligned}\frac{dv}{dt} &= -g_L v - g w \\ \tau \frac{dw}{dt} &= v - w\end{aligned}$$

$$\begin{aligned}\frac{dv}{dt} &= -g_L v - g w \\ \tau \frac{dw}{dt} &= v - w\end{aligned}$$

$g_L$ ,  $g$  y  $\tau$  son constantes que dependen de  $C$ ,  $G_L$ ,  $E_L$ ,  $G_{1,2}$ , etc.

$$\begin{aligned}\frac{dv}{dt} &= -g_L v - g w + I_{in}(t) \\ \tau \frac{dw}{dt} &= v - w\end{aligned}$$

$$I_{in}(t) = A_{in} \sin(\omega t)$$



$$\begin{aligned}\frac{dv}{dt} &= -g_L v - g w + I_{in}(t) \\ \tau \frac{dw}{dt} &= v - w\end{aligned}$$

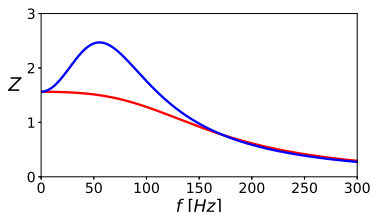
$$I_{in}(t) = A_{in} \sin(\omega t) \implies v_{out}(t) = A_{out} \sin(\omega t - \phi), \quad \omega = \frac{2\pi f}{1000}$$

$$\begin{aligned}\frac{dv}{dt} &= -g_L v - g w + I_{in}(t) \\ \tau \frac{dw}{dt} &= v - w\end{aligned}$$

$$I_{in}(t) = A_{in} \sin(\omega t) \quad \Longrightarrow \quad v_{out}(t) = A_{out} \sin(\omega t - \phi), \quad \omega = \frac{2\pi f}{1000}$$

$$\begin{aligned}\frac{dv}{dt} &= -g_L v - g w + I_{in}(t) \\ \tau \frac{dw}{dt} &= v - w\end{aligned}$$

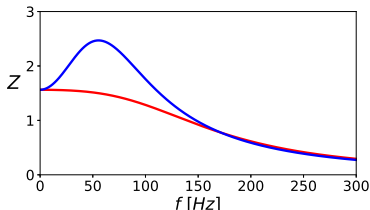
$$I_{in}(t) = A_{in} \sin(\omega t) \implies v_{out}(t) = A_{out} \sin(\omega t - \phi), \quad \omega = \frac{2\pi f}{1000}$$



*Resonancia:* existe un máximo de la función de impedancia  $Z$  para algún valor positivo de la frecuencia  $f_{res}$ .

$$\begin{aligned}\frac{dv}{dt} &= -g_L v - g w + I_{in}(t) \\ \tau \frac{dw}{dt} &= v - w\end{aligned}$$

$$I_{in}(t) = A_{in} \sin(\omega t) \implies v_{out}(t) = A_{out} \sin(\omega t - \phi), \quad \omega = \frac{2\pi f}{1000}$$



*Resonancia:* existe un máximo de la función de impedancia  $Z$  para algún valor positivo de la frecuencia  $f_{res}$ .

**Resonador: neurona no oscilatoria que tiene resonancia**

## Conexiones graduadas

La conexión sináptica graduada del nodo  $j$  al  $k$  es modelada por

$$I_{syn,kj} = G_{syn,kj} S(v_j)(v_k - E_{syn,k})$$

# Conexiones graduadas

La conexión sináptica graduada del nodo  $j$  al  $k$  es modelada por

$$I_{syn,kj} = G_{syn,kj} S(v_j)(v_k - E_{syn,k})$$

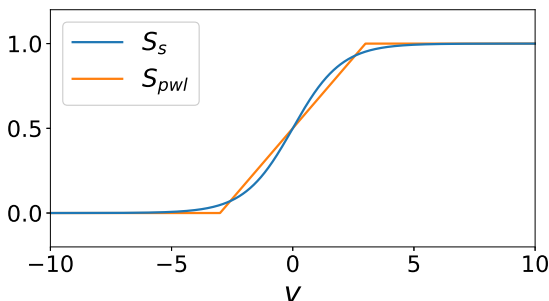
$$\bullet S_s(v) = \frac{1}{1 + e^{-\frac{v - v_{hlf}}{v_{slp}}}} \quad \bullet S_{pwl}(v) = \begin{cases} 0 & v < -v_a \\ \frac{v - v_a}{2v_a} & |v| < v_a \\ 1 & v > v_a \end{cases}$$

# Conexiones graduadas

La conexión sináptica graduada del nodo  $j$  al  $k$  es modelada por

$$I_{syn,kj} = G_{syn,kj} S(v_j)(v_k - E_{syn,k})$$

$$\bullet S_s(v) = \frac{1}{1 + e^{-\frac{v - v_{hlf}}{v_{slp}}}} \quad \bullet S_{pwl}(v) = \begin{cases} 0 & v < -v_a \\ \frac{v - v_a}{2v_a} & |v| < v_a \\ 1 & v > v_a \end{cases}$$



Si hay oscilaciones en la red:

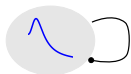
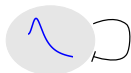
**¿Existe relación entre  $f_{res}$  y la frecuencia de oscilación?**



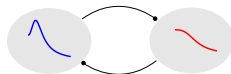
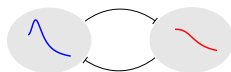
Si hay oscilaciones en la red:

**¿Existe relación entre  $f_{res}$  y la frecuencia de oscilación?**

Modelos auto-conectados



Modelos 2D/1D



# Resonador con conexión auto-exitatoria



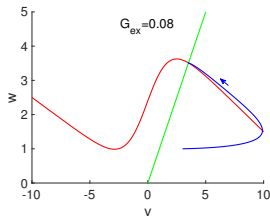
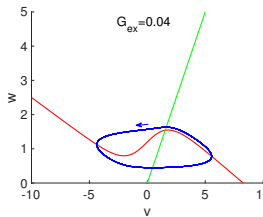
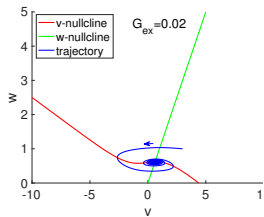
$$\begin{aligned}v' &= -g_L v - g_1 w - G_{\text{ex}} S_s(v)(v - E_{\text{ex}}) \\ \tau w' &= v - w\end{aligned}$$

# Resonador con conexión auto-exitatoria

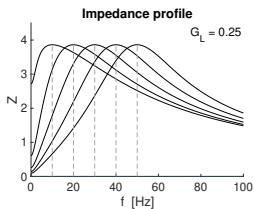
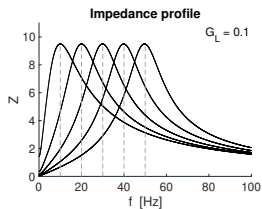


$$\begin{aligned}v' &= -g_L v - g_1 w - G_{ex} S_s(v)(v - E_{ex}) \\ \tau w' &= v - w\end{aligned}$$

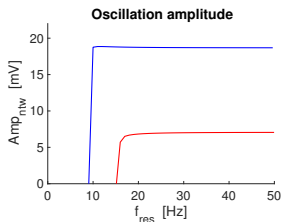
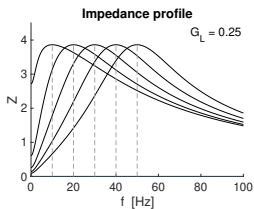
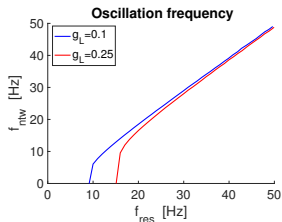
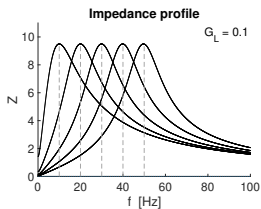
2D aislado con  $f_{nat} = 0$  y  $f_{res} \sim 17.6$  ( $g_L = 0.25$ ,  $g_1 = 1$ ,  $\tau = 100$ )



¿Existe relación entre las dos frecuencias?

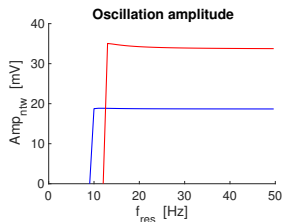
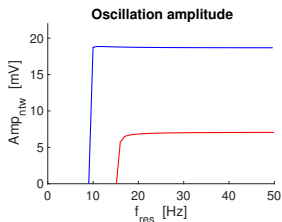
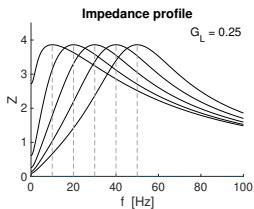
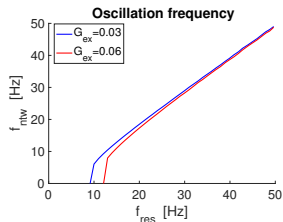
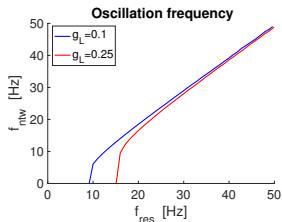
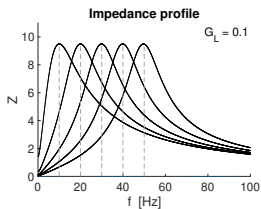


¿Existe relación entre las dos frecuencias?



# Frecuencia de resonancia - Frecuencia de oscilación

¿Existe relación entre las dos frecuencias?

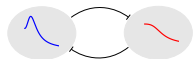


## Dos nodos con conexiones inhibitorias



$$\begin{aligned}v_1' &= -g_{L,1}v_1 - g w_1 - G_{in}S_s(v_2)(v_1 - E_{in}) \\ \tau w_1' &= v_1 - w_1 \\ v_2' &= -g_{L,2}v_2 - G_{in}S_s(v_1)(v_2 - E_{in})\end{aligned}$$

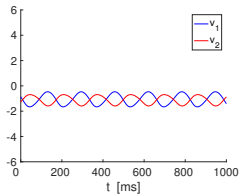
# Dos nodos con conexiones inhibitorias



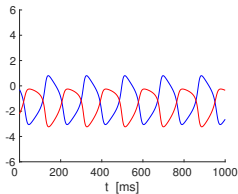
$$\begin{aligned}v_1' &= -g_{L,1}v_1 - g w_1 - G_{in}S_s(v_2)(v_1 - E_{in}) \\ \tau w_1' &= v_1 - w_1 \\ v_2' &= -g_{L,2}v_2 - G_{in}S_s(v_1)(v_2 - E_{in})\end{aligned}$$

2D aislado  $f_{nat} = 0$  y  $f_{res} \sim 10.4$  ( $g_{L,1} = 0.25$ ,  $g_1 = 0.25$ ,  $\tau = 100$ ,  $g_{L,2} = 0.5$ )

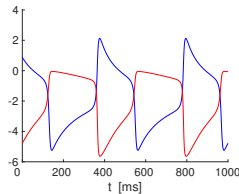
$G_{in} = 0.112$



$G_{in} = 0.14$



$G_{in} = 0.22$





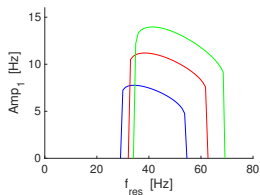
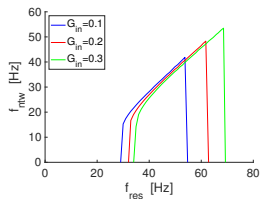
## Frecuencia de resonancia - Frecuencia de oscilación

Mantenemos valores constantes de  $g_{L,1}$  y de  $Z_{max}$ .

# Frecuencia de resonancia - Frecuencia de oscilación

Mantenemos valores constantes de  $g_{L,1}$  y de  $Z_{max}$ .

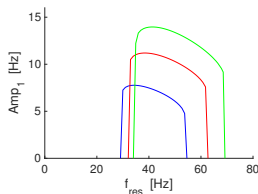
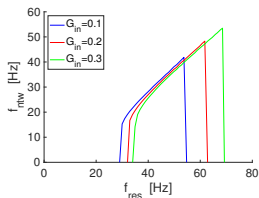
(b)  $g_{L,1} = 0.1$ ,  $Z_{max} = 6$



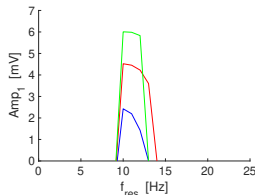
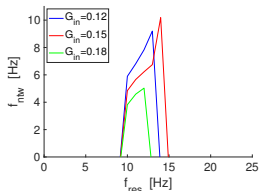
# Frecuencia de resonancia - Frecuencia de oscilación

Mantenemos valores constantes de  $g_{L,1}$  y de  $Z_{max}$ .

(b)  $g_{L,1} = 0.1$ ,  $Z_{max} = 6$



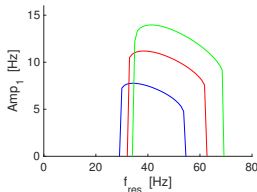
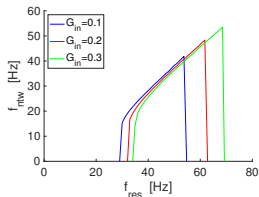
(a)  $g_{L,1} = 0.25$ ,  $Z_{max} = 3.9$



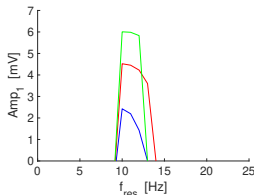
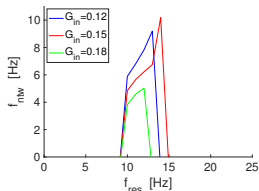
# Frecuencia de resonancia - Frecuencia de oscilación

Mantenemos valores constantes de  $g_{L,1}$  y de  $Z_{max}$ .

(b)  $g_{L,1} = 0.1$ ,  $Z_{max} = 6$



(a)  $g_{L,1} = 0.25$ ,  $Z_{max} = 3.9$



- Incrementando  $f_{res}$  crece  $f_{ntw}$
- La banda de frecuencias activas es pequeña
- Las frecuencias activas dependen de  $g_{L,1}$  y de  $Z_{max}$
- Amplitud crece al aumentar  $G_{in}$

Definimos  $\epsilon = 1/\tau$  y escribimos

$$v_1' = -g_{L,1}v_1 - g w_1 - G_{in}S_s(v_2)(v_1 - E_{in})$$

$$v_2' = -g_{L,2}v_2 - G_{in}S_s(v_1)(v_2 - E_{in})$$

$$w_1' = \epsilon(v_1 - w_1)$$

Definimos  $\epsilon = 1/\tau$  y escribimos

$$v_1' = -g_{L,1}v_1 - g w_1 - G_{in}S_s(v_2)(v_1 - E_{in})$$

$$v_2' = -g_{L,2}v_2 - G_{in}S_s(v_1)(v_2 - E_{in})$$

$$w_1' = \epsilon(v_1 - w_1)$$

si  $0 < \epsilon \ll 1$ ,  $v_1$  y  $v_2$  son variables rápidas y  $w_1$  es lenta.

Definimos  $\epsilon = 1/\tau$  y escribimos

$$v_1' = -g_{L,1}v_1 - g w_1 - G_{in}S_s(v_2)(v_1 - E_{in})$$

$$v_2' = -g_{L,2}v_2 - G_{in}S_s(v_1)(v_2 - E_{in})$$

$$w_1' = \epsilon(v_1 - w_1)$$

si  $0 < \epsilon \ll 1$ ,  $v_1$  y  $v_2$  son variables rápidas y  $w_1$  es lenta.

## Subsistema rápido

$$v_1' = f_1(v_1, v_2, w_1, G_{in})$$

$$v_2' = f_2(v_1, v_2, G_{in})$$

$$w_1' = 0$$

# Oscilaciones de relajación

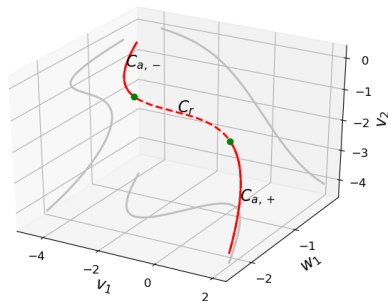
Variedad crítica

$$C = \{(v_1, v_2, w_1) \in \mathbb{R}^3 : v_1 \in \mathbb{R}, v_2 = p_2(v_1, G_{in}), w_1 = p_1(v_1, G_{in})\}$$

$$p_2(v_1, G_{in}) = \frac{G_{in} S_s(v_1) E_{in}}{g_{L,2} + G_{in} S_s(v_1)}$$

$$p_1(v_1, G_{in}) = -\frac{1}{g} (g_{L,1} v_1 + G_{in} S_s(p_2(v_1, G_{in})) (v_1 - E_{in}))$$

En cada punto de  $C$  se calcula la linealización del subsistema y se determinan los puntos singulares de  $C$ , las ramas que atraen ( $C_a$ ) y las que repelen ( $C_r$ ).





# Oscilaciones de relajación - Explosión Canard

¿Valor de  $G_{in}$  crítico para explosión Canard?

# Oscilaciones de relajación - Explosión Canard

¿Valor de  $G_{in}$  crítico para explosión Canard?

- la existencia de bifurcación de Andronov-Hopf (subcrítica).

# Oscilaciones de relajación - Explosión Canard

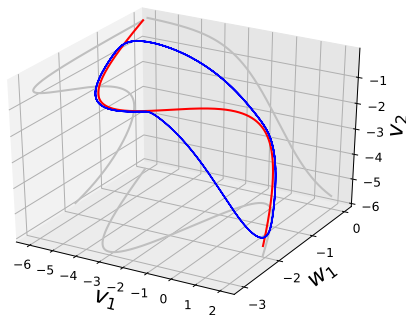
¿Valor de  $G_{in}$  crítico para explosión Canard?

- la existencia de bifurcación de Andronov-Hopf (subcrítica).
- se analizan los puntos de inflexión de las soluciones en las proyecciones en los planos  $v_1 - w_1$  y  $v_2 - w_1$

# Oscilaciones de relajación - Explosión Canard

¿Valor de  $G_{in}$  crítico para explosión Canard?

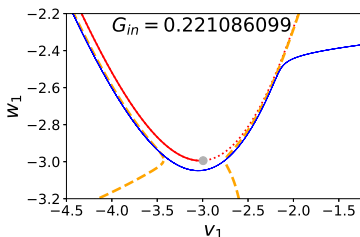
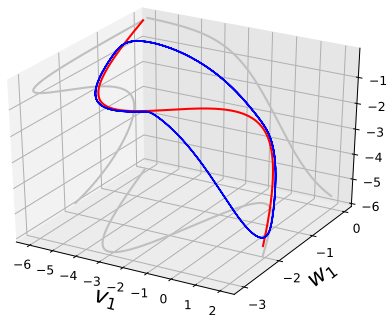
- la existencia de bifurcación de Andronov-Hopf (subcrítica).
- se analizan los puntos de inflexión de las soluciones en las proyecciones en los planos  $v_1 - w_1$  y  $v_2 - w_1$



# Oscilaciones de relajación - Explosión Canard

¿Valor de  $G_{in}$  crítico para explosión Canard?

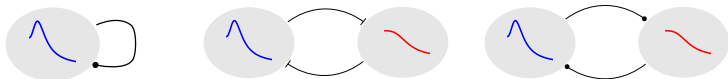
- la existencia de bifurcación de Andronov-Hopf (subcrítica).
- se analizan los puntos de inflexión de las soluciones en las proyecciones en los planos  $v_1 - w_1$  y  $v_2 - w_1$



- Mostramos que las oscilaciones en la red surgen de la interacción de las propiedades de cada neurona y de la conexión sináptica.

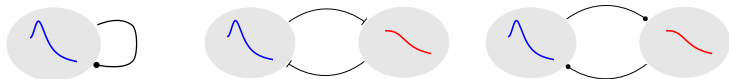
# Conclusiones

- Mostramos que las oscilaciones en la red surgen de la interacción de las propiedades de cada neurona y de la conexión sináptica.
- Existen oscilaciones en los casos:



# Conclusiones

- Mostramos que las oscilaciones en la red surgen de la interacción de las propiedades de cada neurona y de la conexión sináptica.
- Existen oscilaciones en los casos:

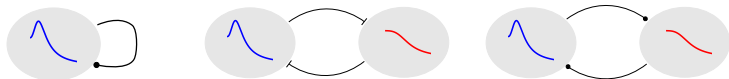


- Observamos que la frecuencia de oscilación de la red depende monótonamente de la frecuencia de resonancia.









# Conclusiones

- Mostramos que las oscilaciones en la red surgen de la interacción de las propiedades de cada neurona y de la conexión sináptica.
- Existen oscilaciones en los casos:



- Observamos que la frecuencia de oscilación de la red depende monótonamente de la frecuencia de resonancia.
- Oscilaciones de relajación: aproximamos valores críticos del parámetro para la explosión canard.

-  B. Hutcheon and Y. Yarom.  
*Trends in Neuroscience*, 23:216–222, 2000.
-  Y. Manor and F. Nadim and S. Epstein and J. Ritt and E. Marder and N. Kopell  
*Journal of Neuroscience*, 19:2765–2779, 1999.
-  M. Richardson, N. Brunel, and V. Hakim.  
*Journal of Neurophysiology*, 89:2538–2554, 2003.
-  H. G. Rotstein.  
*Journal of Mathematical Neuroscience*, 4:11:1–41, 2014.
-  H. G. Rotstein and F. Nadim.  
*Journal of Computational Neuroscience*, 37:9–28, 2013.
-  X. J. Wang and J. Rinzel.  
*Neural Computation*, 4:84–97, 1992.

¡Muchas Gracias!